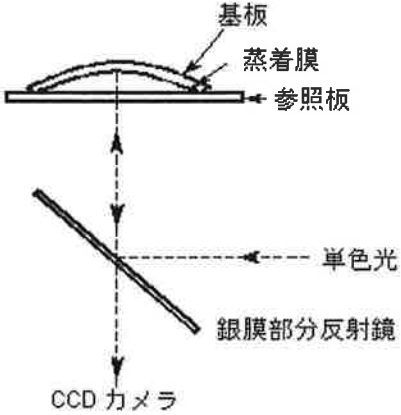
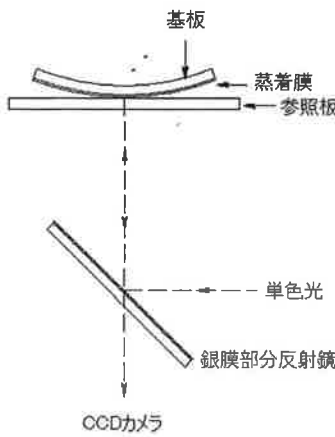


正誤表 1

頁	行	式・図	誤	正
7	6		光の振る舞いは平面波の挙動を解析する	光の振る舞いは単色平面波の挙動を解析する
15	16		$= \frac{1}{4} \langle \mathbf{E} \times \mathbf{H} e^{i2\omega t} + \mathbf{E}^* \times \mathbf{H}^* e^{-i2\omega t} + \mathbf{E}^* \mathbf{H} + \mathbf{E} \mathbf{H}^* \rangle$	$= \frac{1}{4} \langle \mathbf{E} \times \mathbf{H} e^{i2\omega t} + \mathbf{E}^* \times \mathbf{H}^* e^{-i2\omega t} + \mathbf{E}^* \times \mathbf{H} + \mathbf{E} \times \mathbf{H}^* \rangle$
21	12		S-偏光の反射係数と透過係数はそれぞれ次式となる。	S-偏光の透過係数と反射係数はそれぞれ次式となる。
26	9		$\theta_0 > \theta_c$ のとき θ_c は虚数である。	$\theta_0 > \theta_c$ のとき θ_1 は虚数である。
26	22		エネルギーは第 1 媒質(入射媒質)の中へ全反射されるので、	エネルギーは媒質 0(入射媒質)の中へ全反射されるので、
28	8		$2 \sin^{-1} \frac{2N_0 N_1}{\sqrt{N_0^4 - N_1^4}}$	$2 \tan^{-1} \frac{2N_0 N_1}{N_0^2 - N_1^2}$
33	1	式 2-56	$\lambda_1 = \cos \theta_1 = \frac{1}{n_1 - k_1} (n_1^2 - k_1^2 - N_0^2 \sin^2 \theta_0 - i 2n_1 k_1)^{\frac{1}{2}}$	$\lambda_1 = \cos \theta_1 = \frac{1}{n_1 - i k_1} (n_1^2 - k_1^2 - N_0^2 \sin^2 \theta_0 - i 2n_1 k_1)^{\frac{1}{2}}$
35	3	式 2-64	$\phi_p = \tan^{-1} \frac{2N_0 B \cos \theta_0 [A^2 + B^2 - N_0^2 \sin^2 \theta_0]}{N_0^2 A^2 + 4N_0^2 A^2 B^2 - [(A^2 + B^2) - 2(A^2 - B^2)N_0^2 \sin^2 \theta_0 + N_0^4 \sin^4 \theta_0] \cos^2 \theta_0}$	$\phi_p = \tan^{-1} \frac{2N_0 B \cos \theta_0 [A^2 + B^2 - N_0^2 \sin^2 \theta_0]}{N_0^2 A^2 + N_0^2 B^2 - [(A^2 + B^2) + 2(A^2 - B^2)N_0^2 \sin^2 \theta_0 + N_0^4 \sin^4 \theta_0] \cos^2 \theta_0}$
35		表 2-2	Ag 0.055 3.31 60.18 72° 76.5	Ag 0.055 3.31 60.18 72° 96.3
35		表 2-2	Cu 0.76 2.46 3.24 43° 31.4	Cu 0.76 2.46 3.24 69° 58.5
36	8		k/n の値が大きい物質ほど金属性が強く、 $\theta_{B'}$ は θ_p に近づく。	k/n の値が大きい物質ほど金属性が強く、 $\theta_{B'}$ は θ_{p0} に近づく。
37	4		$e^{-i[\omega t - \frac{2\pi}{\lambda} N z]} \propto e^{-i \frac{2\pi}{\lambda} N z} = e^{-i\delta}$	$e^{i[\omega t - \frac{2\pi}{\lambda} N z]} \propto e^{-i \frac{2\pi}{\lambda} N z} = e^{-i\delta}$
40	16		図 2-15 を参照して、式(2-23)と式(2-24)より次式が分かる。	図 2-15 を参照して、式(2-26)より次式が分かる。
51		図 2-20	空気	入射媒質
51		図 2-21	空気	入射媒質
56	13		同様に、もし式(2-85)を用いて反射率を求めたいのであれば、	同様に、もし式(2-84a)を用いて反射率を求めたいのであれば、
81		図 3-7(a)	図中の ρ_a および ρ_b を	ρ_b および ρ_a に変更
81		図 3-7(b)	図中の $2\delta_1$ および $2\delta_2$ を	$2\delta_2$ および $2\delta_1$ に変更
81		図 3-7(c)	図中の $2\delta_1$ および $2\delta_2$ を	$2\delta_2$ および $2\delta_1$ に変更
106	8		3.11 節の中で述べたような閉じた三角形の	3.1.2 節の中で述べたような閉じた三角形の

正誤表 2

頁	行	式・図	誤	正
143	18		ある膜の厚さを通過した後に	実数軸上の点 E を通過した後に
246		問題 4	S (H L) ⁷ H 2L (H L) H S のとき、	S (H L) ⁷ H 2L (H L) ⁷ H S のとき、
342	12		$r^2 = h^2 + (q - \rho \cos \phi)^2$	$r^2 = h^2 + q^2 + \rho^2 - 2q\rho \cos \phi$
342	15	12-4	$\frac{t}{t_0} = \left[\frac{1 + (\frac{q}{h})^2}{1 + (\frac{p}{h})^2 + (\frac{q}{h})^2 - (\frac{2p}{h})(\frac{q}{h}) \cos \phi} \right]^{\frac{n+3}{2}}$	$\frac{t}{t_0} = \left[\frac{1 + (\frac{q}{h})^2}{1 + (\frac{p}{h})^2 + (\frac{q}{h})^2 - (\frac{2p}{h})(\frac{q}{h}) \cos \phi} \right]^{\frac{n+3}{2}}$
345	11	12-11	$\frac{t}{t_0} = \frac{\int_0^T \frac{1}{[(R \cos \Omega \tau + \rho \cos \omega \tau - q)^2 + (R \sin \Omega \tau + \rho \sin \omega \tau)^2 + h^2]^{\frac{n+3}{2}}} d\tau}{\int_0^T \frac{1}{[(R \cos \Omega \tau - q)^2 + (R \sin \Omega \tau)^2 + h^2]^{\frac{n+3}{2}}} d\tau}$	$\frac{t}{t_0} = \frac{\int_0^T \frac{1}{[(R \cos \Omega \tau + \rho \cos \omega \tau - q)^2 + (R \sin \Omega \tau + \rho \sin \omega \tau)^2 + h^2]^{\frac{n+3}{2}}} d\tau}{\int_0^T \frac{1}{[(R \cos \Omega \tau - q)^2 + (R \sin \Omega \tau)^2 + h^2]^{\frac{n+3}{2}}} d\tau}$
348	6	12-16	$= \frac{m}{\left(\frac{2\pi}{n+1}\right)\mu} \frac{h^n \cdot [h \cos \beta - \sin \beta \cdot (\rho \cos \phi \cos \beta - a - A \cdot \cos \Phi)]}{r^{n+3}}$	$= \frac{m}{\left(\frac{2\pi}{n+1}\right)\mu} \frac{h^n \cdot \left[\frac{h}{2} \cos^2 \beta - \sin \beta \cdot (\rho \cos \phi \cos \beta - a - A \cdot \cos \Phi)\right]}{r^{n+3}}$
348	14	12-19	$m_2(\rho) = \left(\frac{1}{2\pi}\right) \int_0^{2\pi} m_1 d\phi$	$m_2(\rho) = \frac{\int_0^{2\pi} t d\phi}{\int_0^{2\pi} t_0 d\phi} = \frac{t_0}{2\pi t_0} \int_0^{2\pi} t d\phi$
349	6	12-20	$m_3(\rho) = \int_0^{2\pi} \int_0^{A_m} m_2(\rho) dA d\Phi$	$m_3(\rho) = \frac{\int_0^{2\pi} \int_0^{A_m} \left(\int_0^T t d\phi\right) dA d\Phi}{\int_0^{2\pi} \int_0^{A_m} 2\pi t_0 dA d\Phi}$
352	10	12-29	$m_3(\rho) = \int_0^{2\pi} \int_0^{A_m} m_2(\rho) dA d\Phi$	$m_3(\rho) = \frac{\int_0^{2\pi} \int_0^{A_m} \left(\int_0^T t d\phi\right) dA d\Phi}{t_0 T \int_0^{2\pi} \int_0^{A_m} dA d\Phi}$

頁	行	式・図	誤	正
365	11		膜の透過率 T (式 2-82) と反射率 R (式 2-83) は求められる。	膜の透過率 T (式 2-83) と反射率 R (式 2-82) は求められる。
399	17		干渉縞の半径 r を測定し、	干渉縞の測定から基板の曲率半径 r を求め、
399		図 13-24		
400	2		ν は基板のポアソン比 (Poisson's ratio) である。	ν は基板のポアソン比 (Poisson's ratio)、 r は基板の曲率半径である。
405	9		最高の耐力を有する薄膜は電子銃で成膜した膜である。	最高の耐力を有する薄膜は抵抗加熱および電子銃で成膜した膜である。
405	11		耐力は電子銃による膜に及ばない。	耐力は抵抗加熱および電子銃による膜には及ばない。
406		文献 8	J. Phy. E.: Sci. Inst. 9, 1002-1004.	J. Phys. E.: Sci. Inst. 9, 1002-1004.
407		文献 9	J. Phy. E.: Sci. Inst. 16, 1214-1222.	J. Phys. E.: Sci. Inst. 16, 1214-1222.